

# pH 值对短程反硝化及 N<sub>2</sub>O 释放特性影响

廖正伟<sup>1,2</sup>, 贺酰淑<sup>1,2</sup>, 陈宣<sup>3</sup>, 吕永涛<sup>2,3</sup>, 王旭东<sup>2,3</sup>

(1. 陕西省水务集团水务科技有限公司, 陕西 西安 710000; 2. 陕西省膜分离技术研究院, 陕西 西安 710055;  
3. 西安建筑科技大学环境与市政工程学院、陕西省膜分离重点实验室, 陕西 西安 710055)

**摘要:** 以普通活性污泥为种泥, 控制 COD/N 为 2, 通过逐步提升 NO<sub>2</sub><sup>-</sup>-N 浓度(由 15 上升至 200 mg/L)的方式在小试 SBR 反应器中实现了短程反硝化的启动; 稳定运行期间, NO<sub>2</sub><sup>-</sup>-N 的平均去除率达 99.5%。在此基础上, 通过批式试验考察了不同进水 pH 值(7.1、8.2 和 9.3)对短程反硝化及 N<sub>2</sub>O 释放特性的影响。结果表明, 随着进水 pH 值的升高, 平均反硝化速率由 0.087 9 上升至 0.094 1 和 0.107 2 mg/(min · gSS); 反硝化效率先降后升, 分别为 98.70、96.52 和 99.10%; 而 N<sub>2</sub>O 的释放量随 pH 值升高呈降低的趋势, pH 值为 7.1 时的释放量分别是 8.2 和 9.3 时的 2.82 和 8.04 倍。因此, 适当提升进水 pH 值可大幅降低短程反硝化过程 N<sub>2</sub>O 的释放量。

**关键词:** SBR; 短程反硝化; 反硝化速率; N<sub>2</sub>O; pH

中图分类号: X703

文献标志码: A

文章编号: 1006-7930(2019)04-0605-05

## Effect of pH values on shortcut denitrification and nitrous oxide emission

LIAO Zhengwei<sup>1,2</sup>, HE Xianshu<sup>1,2</sup>, CHEN Xuan<sup>3</sup>, LÜ Yongtao<sup>2,3</sup>, WANG Xudong<sup>2,3</sup>

(1. Shaanxi Provincial Water Group Water Technology Company, Xi'an, 710000, China;  
2. Research Institute of Membrane Separation Technology of Shaanxi Province, Xi'an, 710055, China;  
3. School of Environmental and Municipal Engineering, Key Laboratory of Membrane Separation of Shaanxi Province, Xi'an Univ. of Arch. & Tech., Xi'an 710055, China.)

**Abstract:** Shortcut denitrification was successfully started up in a sequencing batch reactor (SBR) by evaluating nitrite nitrogen concentration from 15 to 200 mg/L. Batch experiments were conducted to investigate the effect of pH values (7.1, 8.2 and 9.3) on the denitrification rate and nitrous oxide (N<sub>2</sub>O) emission. The results show that the nitrite removal rate increased from 0.087 9 to 0.094 1 and 0.107 2 mg/(min · gSS), and then decreased with the increase of pH. While the removal efficiency of nitrite firstly decrease from 98.70 to 96.52 and then increased to 99.10%. The amount of N<sub>2</sub>O emission decreased with the increase of pH values, and the N<sub>2</sub>O emission amount at pH 7.1 was 7.04 times more than that at pH 9.3. The results demonstrated that the N<sub>2</sub>O emission can be decreased significantly by increasing the influent pH value during shortcut denitrification.

**Key words:** SBR; shortcut denitrification; denitrification rate; nitrous oxide; pH value

N<sub>2</sub>O, 其温室效应是 CO<sub>2</sub> 的 265 倍<sup>[1]</sup>, 作为污水脱氮过程中的副产物, 转嫁到大气环境的影响备受人们关注<sup>[2,3]</sup>。Kampschreur 等<sup>[4]</sup>统计表明: 在小试反应器中, 约有 0~90% 的氮转化为 N<sub>2</sub>O 并释放; 在实际污水厂调研表明, 这个比例也高达 14.6%。因此, N<sub>2</sub>O 的减释控制成为本领域的重要研究内容之一。短程反硝化是指以亚硝酸盐为电子受体的反硝化, 具有反应历程短、有机碳源省和污泥产量低等优点<sup>[5-6]</sup>, 但该过程 N<sub>2</sub>O 的释放几乎不可避免, 且受 NO<sub>2</sub><sup>-</sup>浓度、C/N、pH 值及

温度等众多因素的影响<sup>[7-8]</sup>。

pH 值是生物脱氮过程的重要环境因子, 不仅影响反硝化速率与效率, 还影响 N<sub>2</sub>O 释放, 但 pH 值影响短程反硝化过程 N<sub>2</sub>O 释放的机理尚不清楚。本研究采用人工合成废水, 在小试 SBR 系统中成功实现了高浓度亚硝酸盐的短程反硝化, 在此基础上, 研究了不同初始 pH 值对短程反硝化效率、速率及 N<sub>2</sub>O 释放特性的影响, 探讨了 N<sub>2</sub>O 释放与微生物活性间的关系, 旨在为短程反硝化脱氮的高效运行及 N<sub>2</sub>O 的减量释放提供依据。

## 1 材料与方法

### 1.1 试验装置与运行方案

试验采用高径比为 25: 3 的小试 SBR 反应器, 有效容积为 4 L; 采用变频搅拌器进行搅拌, 转速控制为 200 rpm。该反应器每天运行 3 个周期, 单周期时长为 8 h, 其中进水、搅拌、沉淀和排水的时间分别为 9、420、50 和 1 min, 排水比设定为 50%。通过 PLC 自动控制器控制 SBR 反应器的连续运行。

### 1.2 接种污泥与试验用水

试验所用种泥取自西安市某 A<sup>2</sup>/O 污水厂回流污泥, 反应器中污泥浓度约为 4 200 mg/L, SVI 为 98 mL/g, 污泥沉降性能良好。

实验用水人工配制, 其成分为 NaNO<sub>2</sub>, CH<sub>3</sub>COONa 及 MgSO<sub>4</sub> 0.1 g/L, KH<sub>2</sub>PO<sub>4</sub> 0.1 g/L, 无水 CaCl<sub>2</sub> 0.3 g/L, NaHCO<sub>3</sub> 1 g/L, 实验阶段始终控制进水 COD/N 为 2: 1。另外, 每升进水中加入 1 mL 微量元素 I 及 1 mL 微量元素 II。其中微量元素 I 溶液成分为: CuSO<sub>4</sub> · 5H<sub>2</sub>O 0.02 g/L, (NH<sub>4</sub>)<sub>6</sub>Mo<sub>7</sub>O<sub>24</sub> · 4H<sub>2</sub>O 0.05 g/L, ZnSO<sub>4</sub> · 7H<sub>2</sub>O 0.1 g/L, CoCl<sub>2</sub> · 6H<sub>2</sub>O 0.002 g/L, MnCl<sub>2</sub> · 4H<sub>2</sub>O 0.100 g/L; 微量元素 II 溶液成分为: FeSO<sub>4</sub> · 7H<sub>2</sub>O 0.05 mol/L, EDTA 0.026 mol/L。

### 1.3 批式试验方案

采用批式试验研究 pH 值对 SBR 短程反硝化及 N<sub>2</sub>O 释放特性的影响, 试验装置为 3 个相同的圆柱形反应器, 内径 6 cm, 高 50 cm, 有效容积 1.0 L; 试验在室温 25~27 °C 进行。

从反应器中取污泥弃上清液后, 用去离子水反复清洗, 直至清洗液中亚硝酸盐氮的浓度低于 2 mg/L, 污泥均分至 3 个批式反应器中, 各加入 CH<sub>3</sub>COONa、NaNO<sub>2</sub> 和微量元素, 使初始 COD 和 NO<sub>2</sub><sup>-</sup>-N 浓度分别为 160 和 80 mg/L, 用 0.1 mol/L NaOH 或 0.1 mol/L HCl 将 3 个反应器初始 pH 值分别调至为 7.1、8.2 和 9.3, 通过气体(高纯氮气, 流量为 0.4 L/min)搅拌的方式使泥水混合均匀, 进行缺氧反应 120 min, 反应器中污泥浓度为 (7 349 ± 810) mg/L。

在 0、20、40、60、80、100、120 min 时采集水样测定 NO<sub>2</sub><sup>-</sup>-N 和 NO<sub>3</sub><sup>-</sup>-N 浓度; 在曝气第 0.5、1、2、3、4、5、8、14、20、30、40、50、60、90、120 min 时测定 N<sub>2</sub>O 释放速率和释放量; 0~120 min 内每间隔 40 min 采集水样测定溶解性 N<sub>2</sub>O 浓度, 水样测定前用 0.45 μm 滤膜过滤。

## 1.4 分析方法

### 1.4.1 水质分析

NO<sub>2</sub><sup>-</sup>-N 采用 N-(1-萘基)-乙二胺比色法, NO<sub>3</sub><sup>-</sup>-N 采用盐酸-氨基磺酸比色法<sup>[9]</sup>; pH 值用精密酸度计(PHM210, HACH, USA)测定; DO 和温度用哈希便携式溶解氧仪(HQ25d, HACH, USA)测定。

游离亚硝酸(free nitrous acid, FNA)质量浓度通过下式进行计算。

$$\rho_{\text{FNA}} = \frac{47}{14} \times \frac{\rho_{\text{NO}_2^- - \text{N}}}{\exp[-2300/(273+t)] \times 10 \rho \text{H}} \quad (1)$$

式中:  $\rho_{\text{NO}_2^- - \text{N}}$  为 NO<sub>2</sub><sup>-</sup>-N 的质量浓度, mg/L;  $\rho_{\text{FNA}}$  为 FNA 质量浓度, mg/L;  $t$  为温度, °C。

### 1.4.2 N<sub>2</sub>O 分析方法及计算

气态 N<sub>2</sub>O 样品的采集、测定及其释放浓度、释放速率与释放量计算参考 Ju 等.<sup>[10]</sup>的方法, 所有气态样品均测定 3 次计算平均值。

溶解态 N<sub>2</sub>O 的测定参考 Kimochi 等<sup>[11]</sup>提出的顶空法并进行了适当改进, 计算见式(2)。

$$c_{\text{N}_2\text{O}, \text{dis}} = (1 + \beta / 22.4) \omega_{\text{N}_2\text{O}, \text{dis}} M_{\text{N}_2\text{O}} \quad (2)$$

$$P / (R \cdot T)$$

其中,  $c_{\text{N}_2\text{O}, \text{dis}}$  是单位体积水样中溶解的浓度;  $\omega_{\text{N}_2\text{O}, \text{dis}}$  是在上部空间的浓度;  $\beta$  是广口瓶上部空间体积与水样体积的比值。

## 2 实验结果

### 2.1 SBR 短程反硝化的启动与运行

接种污水厂普通好氧活性污泥, 采用逐步提高 NO<sub>2</sub><sup>-</sup>-N 浓度的策略(同步提高进水有机物浓度, 并控制 COD/N 为 2), 在小试 SBR 中成功实现了高浓度亚硝酸盐的短程反硝化并稳定运行。启动与稳定运行阶段反应器进、出水 NO<sub>2</sub><sup>-</sup>-N 浓度变化情况如图 1 所示。

由图 1 可见, 控制进水 COD/N=2 的前提下, 1~36 d 随着进水 NO<sub>2</sub><sup>-</sup>-N 浓度由 15 mg/L 逐渐升至 200 mg/L, 出水 NO<sub>2</sub><sup>-</sup>-N 一直稳定在 0.5 mg/L 以下, 成功实现了高浓度短程反硝化的快速启动。36 d 后, 在进水 NO<sub>2</sub><sup>-</sup>-N 浓度约为 200 mg/L 的条件下, 分析可知 NO<sub>2</sub><sup>-</sup>-N 去除率为 99.5%(36~64 d 的平均值), 呈现出稳定的短程脱氮性能。典型周期 SBR 短程反硝化各特征参数变化情况如图 2 所示。

图 2 表示的是单周期氮素转化及沿程 DO 及 pH 的变化规律。由图 2a 可见, 随着反应的进行,

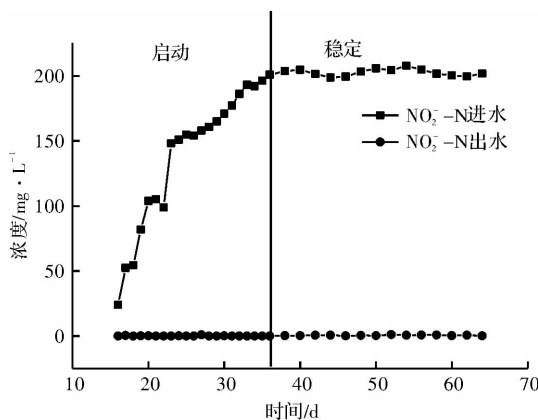


图1 SBR反应器启动与稳定运行期间进出水质变化特性

Fig. 1 The influent and effluent nitrogen compounds in SBR during the start-up and stabilization stage

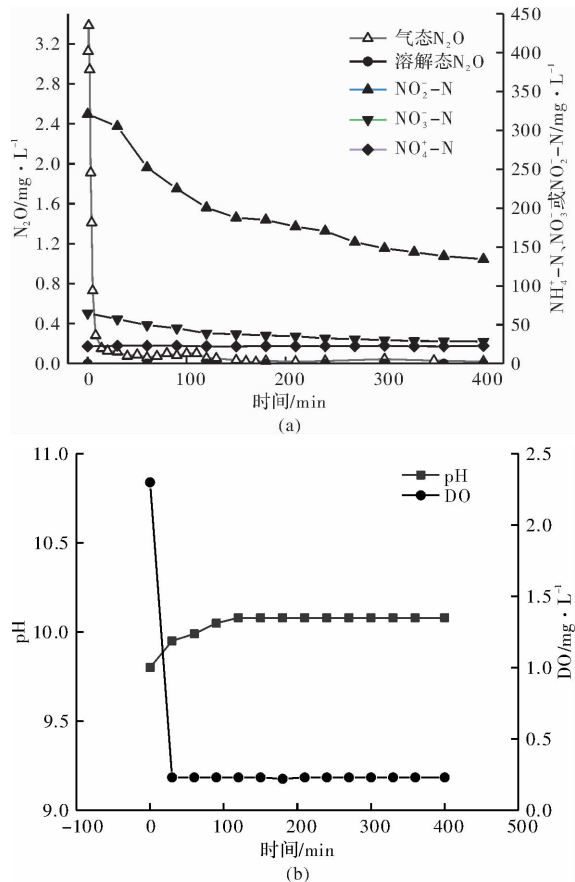


图2 小试SBR单周期短程反硝化过程氮素与环境因子变化情况

Fig. 2 The variation of the nitrogen compounds and

parameters during shortcut denitrification in a single cycle

$\text{NO}_2^-$ -N浓度持续下降，同时，因进水发生氧化的原因导致产生少量  $\text{NO}_3^-$ -N(初始浓度约为 25 mg/L)，其变化趋势和  $\text{NO}_2^-$ -N一致，最终去除的 TN 浓度为 210.20 mg/L，反硝化效率为 87.57%。气态 N<sub>2</sub>O 和溶解态 N<sub>2</sub>O 在整个反应过程均低于 0.1 mg/L；单周期 N<sub>2</sub>O 释放量仅为 0.000 67 mg，N<sub>2</sub>O-N 转化率为 0.000 32%。由

图 2b 可见，反应初期(30 min 内)DO 浓度迅速降至 0.23 mg/L，随后基本保持不变，表明反应在缺氧环境条件下进行。pH 在整个过程呈缓慢上升趋势，由 9.80 上升至 10.08。

## 2.2 pH 值对短程反硝化及 N<sub>2</sub>O 释放特性影响

图 3 表示的是在不同初始 pH 条件下沿程 pH 的变化情况。由图可知，在反应过程中 pH 的变化趋势均呈增长态势。图 4 为表示的是在不同初始 pH 值条件下  $\text{NO}_2^-$ -N、 $\text{NO}_3^-$ -N、溶解态 N<sub>2</sub>O、气态 N<sub>2</sub>O 的变化情况。由图 4 可见，在不同 pH 值条件下，反应前 40 min 反硝化速率变化规律不同。当 pH 值分别 7.1 和 8.2 时，反硝化速率均随着反应时间的延长而呈增大的趋势，二者分别由 0.066 3 和 0.049 6(0~20 min 均值)增加至 0.214 7 和 0.292 2(20 ~ 40 min 均值)mg/(min · gSS)。可能的原因为：反应初期高浓度的亚硝酸盐形成较高的 FNA 质量浓度，抑制了短程反硝化菌的活性；随着短程反硝化的进行，亚硝酸盐逐渐被还原，同时伴随着系统 pH 逐渐升高，导致 FNA 的质量浓度变小，对反硝化菌的抑制作用解除，致使反硝化速率增大。

当 pH 值为 9.3 时，反硝化速率变化趋势发生了改变，出现随着反应时间的延长而减小的现象。反应前 20 min FNA 质量浓度变化范围为 0.000 392 ~ 0.000 189 mg/L，较低的 FNA 浓度不影响反硝化菌的活性，因此，在反应前 20 min 呈现出较大的反硝化速率(0.272 7 mg/(min · gSS))，随着反应的进行，基质  $\text{NO}_2^-$  浓度的降低导致反硝化速率有所下降，为 0.166 8 mg/(min · gSS)。

当 pH 值分别 7.1、8.2 和 9.3 时，整个反应过程的平均反硝化速率分别为 0.087 9、0.094 1 和 0.107 2 mg/(min · gSS)；平均反硝化效率分别为 98.70、96.52 和 99.10 %。以上试验结果显示，初始 pH 值维持在 7.1 ~ 9.3 时，平均反硝化速率和反硝化脱氮效率受 pH 值影响不大。

由图 3 可见，不同 pH 值条件下，曝气开始后，随着反应的进行  $\text{NO}_2^-$ -N 和  $\text{NO}_3^-$ -N 浓度均迅速下降。pH 分别为 7.1 和 8.2 时，N<sub>2</sub>O 释放主要发生在曝气初期，在 1 min 时达到最大值，分别为 0.23 和 0.05 mg/L，随后快速下降，10 min 后低于 0.1 mg/L；溶解态 N<sub>2</sub>O 浓度在整个曝气过程几乎不变，在 0.005 mg/L 左右(图 4a 和 4b)。当 pH 值升至 9.3 时，在整个反应过程中气态和溶解态 N<sub>2</sub>O 均低于 0.1 mg/L 左右，系统几乎没有 N<sub>2</sub>O 的释放。

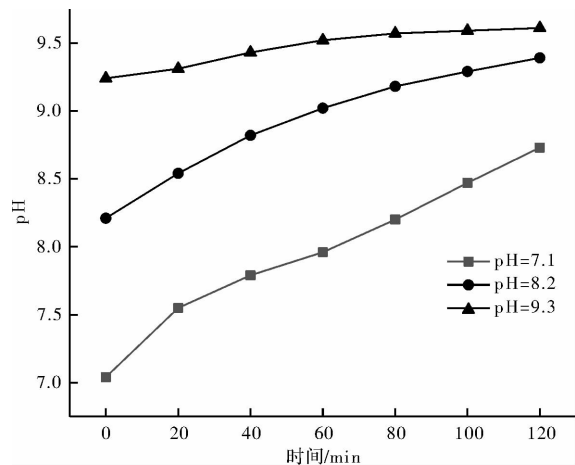


图 3 不同初始 pH 条件下单周期 SBR 系统 pH 变化情况

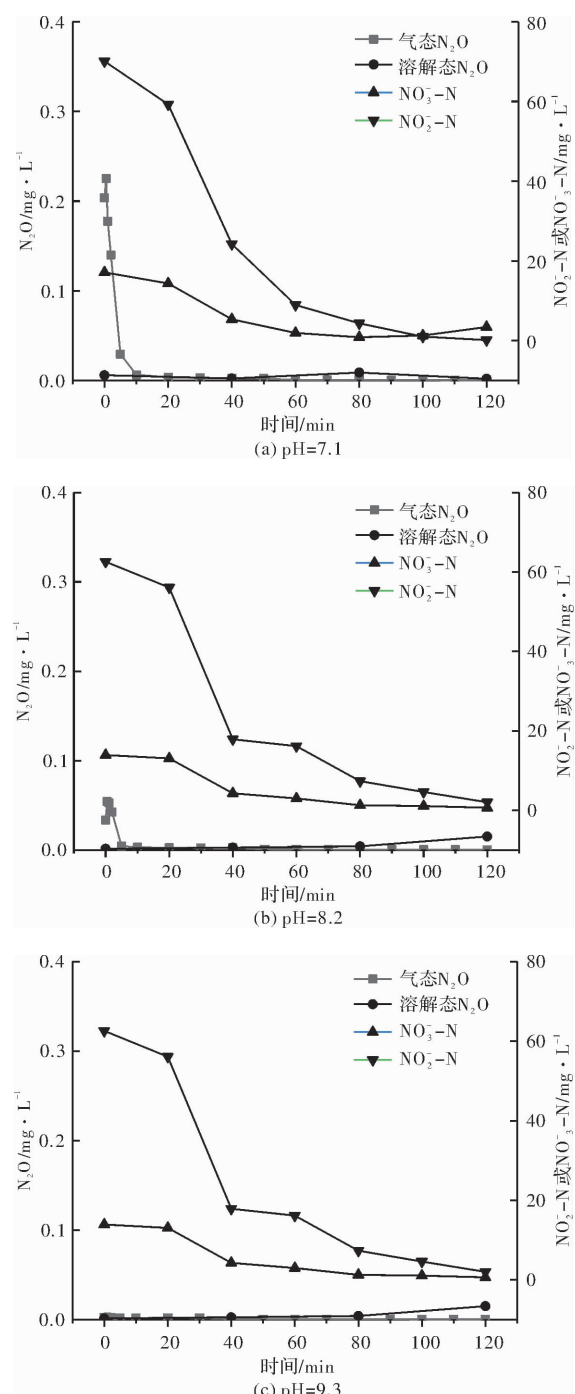
Fig. 3 pH change of single-cycle SBR system under different initial pH conditions

以上试验结果显示，在以亚硝酸盐为电子受体的短程反硝化 SBR 系统中维持适当的碱性条件，可在系统维持较高反硝化脱氮效率的前提下有效控制  $\text{N}_2\text{O}$  的释放。

### 3 讨论

研究表明，在反硝化过程中， $\text{N}_2\text{O}$  的释放主要有以下原因<sup>[12]</sup>：(1)受外界因素的影响，氧化亚氮还原酶(nitrous oxide reductase, Nos)受到抑制或失活， $\text{N}_2\text{O}$ 无法被还原为  $\text{N}_2$ ，造成  $\text{N}_2\text{O}$  的累积；(2)Nos 竞争电子能力较弱，当电子供体不足时，Nos 无法竞争到电子，从而使得  $\text{N}_2\text{O}$  无法被还原；(3)存在一类反硝化菌，其还原产物为  $\text{N}_2\text{O}$ 。

当 pH 分别为 7.1、8.2 及 9.3 时，根据公式计算可得，单周期  $\text{N}_2\text{O}$  释放量依次为 0.564、0.200 和 0.070 mg， $\text{N}_2\text{O}-\text{N}$  转化率分别为 0.66、0.27 和 0.074%，pH 值为 7.1 时的释放量分别是 8.2 为 9.3 时的 2.82 和 8.04 倍，表明适当提高 pH 值可大幅降低  $\text{N}_2\text{O}$  的释放。同时，在本试验研究的 pH 范围内， $\text{N}_2\text{O}$  主要释放在反应初始 20 min，分别占各自总释放量的 86.54、68.58 和 37.42% (见表 1)。该结果与 Bo 等<sup>[13]</sup>研究结果一致，可能是由于低 pH 值下形成的 FNA 对 Nos 的抑制作用造成的。Zhou 等<sup>[14]</sup>揭示了 FNA 对  $\text{N}_2\text{O}$  还原的抑制浓度为 0.000 7 ~ 0.001 mg/L。经计算，当 pH 分别为 7.1、8.2 及 9.3 时，系统中 FNA 的质量浓度变化范围分别为 0.054 9 ~ 0.026  $5 \times 10^{-4}$ 、0.003 9 ~ 0.081 2  $\times 10^{-4}$  和 0.000 4 ~ 0.010 5  $\times 10^{-4}$  mg/L，可见 pH 为 9.3 时已经超出了 FNA 的抑制浓度范围。

图 4 不同初始 pH 条件下单周期 SBR 系统氮素转化及  $\text{N}_2\text{O}$  释放浓度变化情况Fig. 4 The concentration curves of  $\text{NO}_2^- - \text{N}$ ,  $\text{NO}_3^- - \text{N}$  and  $\text{N}_2\text{O}$  at different pH values

此外， $\text{N}_2\text{O}$  的释放主要发生在反应初期，其释放量受其产生速率和还原速率两方面因素共同影响。从试验结果看，反应初期，pH 值为 7.1 时的短程反硝化速率低于 pH 为 8.2 时，意味着前者  $\text{N}_2\text{O}$  的产生速率低于后者，然而释放量却高于后者。由此可见，短程反硝化速率虽然也是影响  $\text{N}_2\text{O}$  产生与释放的因素，但 FNA 是更重要的因素。

表1 不同pH条件下, 初始20 min内短程反硝化速率、FNA浓度及N<sub>2</sub>O释放特性Tab. 1 The shortcut denitrification rate, FNA concentration and N<sub>2</sub>O emission in initial 20min at different pH values

项目	pH		
	7.1	8.2	9.3
短程反硝化速率/mg · (min · gSS) <sup>-1</sup>	0.066 3	0.049 6	0.272 7
初始反应 FNA浓度/mg · L <sup>-1</sup>	0.054 9 ~ 0.016 5	0.003 90 ~ 0.001 60	0.000 392 ~ 0.000 189
20 min 初始N <sub>2</sub> O释放量/总释放量/%	86.54	68.58	37.42
N <sub>2</sub> O释放量/去除的NO <sub>x-</sub> -N量/%	0.66	0.27	0.074

## 4 结论

(1)随着pH值由7.1升至8.2和9.3, 平均反硝化速率由0.087 9升至0.094 1和0.107 2 mg/(min · gSS), 反硝化效率先降后升, 分别为98.70%、96.52%和99.10%。

(2)N<sub>2</sub>O释放量随pH值的升高呈降低趋势, pH值为7.1时的释放量分别是8.2和9.3时的2.82和8.04倍, 适当升高进水pH值可大幅降低N<sub>2</sub>O的释放。

## 参考文献 References

- [1] RAVISHANKARA A R, DANIEL J S, PORTMANN R W. Nitrous Oxide (N<sub>2</sub>O): The dominant Ozone depleting substance emitted in the 21st century [J]. Science, 326.
- [2] 张静蓉, 王淑莹, 尚会来, 等. 污水短程硝化反硝化和同步硝化反硝化生物脱氮中N<sub>2</sub>O释放量及控制策略[J]. 环境科学, 2009, 30(12): 3624-3629.  
ZHANG Jingrong, WANG Shuying, SHANG Huilai, et al. N<sub>2</sub>O emission and control in shortcut nitrification and denitrification and simultaneous nitrification and denitrification biological nitrogen removal systems[J]. Environmental Science, 2009, 30(12): 3624-3629.
- [3] LÜ Yongtao, JU Kai, WANG Lei, et al. Effect of pH on nitrous oxide production and emissions from a partial nitritation reactor under oxygen-limited conditions [J]. Process Biochemistry, 2016, 51: 765-771.
- [4] KAMPSCHREUR M J, TEMMINK H, KLEEREBEZEM R, et al. Nitrous oxide emission during wastewater treatment[J]. Water Research, 2009, 43(17): 4093-4103.
- [5] 李鹏章, 王淑莹, 彭永臻, 等. COD/N与pH值对短程硝化反硝化过程中N<sub>2</sub>O产生的影响[J]. 中国环境科学, 2014, 34(8): 2003-2009.  
LI Pengzhang, WANG Shuying, PENG Yongzhen, et al. Effect of COD/N ratios and pH on N<sub>2</sub>O production during nitrite denitrification process[J]. China Environmental Science, 2014, 34(8): 2003-2009.
- [6] 袁林江, 彭党聪, 王志盈. 短程硝化-反硝化生物脱氮[J]. 中国给水排水, 2000, 16(2): 29-31.  
YUAN Linjiang, PENG Dangcong, WANG Zhiying. Short-range nitrification-denitrification of nitrifying organisms[J]. China Water & Wastewater, 2000, 16(2): 29-31.
- [7] ADOUANI N, LENDORMI T, LIMOUSY L, et al. Effect of the carbon source on N<sub>2</sub>O emissions during biological denitrification[J]. Resources, Conservation and Recycling, 2010, 54(5): 299-302.
- [8] ADOUANI N, LIMOUSY L, LENDORMI T, et al. N<sub>2</sub>O and NO emissions during wastewater denitrification step: Influence of temperature on the biological process [J]. Comptes Rendus Chimie, 2015, 18(1): 15-22.
- [9] 王心芳. 水和废水监测分析方法[M]. 北京: 中国环境科学出版社, 2002: 258-284.  
WANG Xinfang. Determination methods for examination of water and wastewater[M]. Beijing: China Environmental Science Press, 2002: 258-284.
- [10] JU Kai, WANG Lei, LÜ Yongtao, et al. Nitrous oxide emission in autotrophic partial nitritation system: Macro- and microanalyses[J]. Journal of Bioscience & Bioengineering, 2015, 120(4): 419-425.
- [11] KIMOCHY Y. Nitrogen removal and N<sub>2</sub>O emission in a full scale domestic waste water treatment plant with intermittent aeration[J]. J. Ferment. Bioeng., 1998, 86: 202-206.
- [12] NI S Q, LEE P H, SUNG S. The kinetics of nitrogen removal and biogas production in an anammox non-woven membrane reactor [J]. Bioresour Technol, 2010, 101: 5767-5773.
- [13] BO G, FRETTE L, Westermann P. Dynamics of N<sub>2</sub>O production from activated sludge[J]. Water Research, 1998, 32(7): 2113-2121.
- [14] ZHOU Yan, PI J M, RAYMOND J, et al. Free nitrous acid inhibition on nitrous oxide Reduction by a denitrifying-enhanced biological phosphorus removal sludge [J]. Environmental Science Technology, 2008, 42(22): 8260-8265.

(编辑 桂智刚)